

## 1. 変形する物体の仮想質量

仮想質量は質量を含む物理量：慣性力、運動エネルギー、運動量、振動周期などの真空中と流体中の差より定義できる。一般的な物体運動では6ヶの自由度があるが、速度ボテンシャルを中=中<sup>0</sup>と一般的に表せば仮想質量は  $\text{アニソル } T_{\text{eff}} = \rho_0 \int_S \phi' \frac{\partial \phi}{\partial n} dS$  で与えられる。<sup>1)</sup> 変形する物体ではこの剛体的な運動と変形による運動とに分けて考えられる。変形による運動は物体表面の法線方向運動を考える。また、変形が微小であるとすれば変形によって新たに運動が発生せず、運動による仮想質量を考えなくてよい。変形する物体について、支点運動エネルギーによる定義を考えてみる。物体表面の変位を  $y = f(\vec{x})T(t)$  とおく。変形する物体では物体表面での速度は各處で異なるから、速度ボテンシャルを単位の速度  $\dot{T}(t)$  に比例するとし、重=中<sup>0</sup>  $\dot{T}(t)$  とおく。流体の運動エネルギー  $K$  は<sup>2)</sup>

$$K = \frac{1}{2} \rho_0 \int_S \phi \cdot \frac{\partial \phi}{\partial n} dS \cdot \dot{T}(t)^2 \quad (1)$$

ここで、 $n$  は境界面での外向法線、 $S$  は境界全面を示す。我々の問題では、物体表面  $S_0$  での法線速度  $\dot{n}$  が指定され、他の境界では中(圧力)=0 又は  $\partial \phi / \partial n = 0$  の場合が多い。従って、(1)式の積分は物体表面での積分  $\rho_0 \int_{S_0} \phi(\vec{x}_0) \cdot \frac{\partial \phi}{\partial n} dS_0$  で表わせる。 $\vec{x}_0$  の速度は  $V = f(\vec{x}_0) \dot{T}(t)$  であるから  $\vec{x}_0$  の微小面積  $dS_0$  が寄与する運動エネルギー  $dK$  は

$$dK = \frac{dS_0}{2} \left[ \rho_0 \cdot \frac{\phi \cdot \frac{\partial \phi}{\partial n}}{f^2} \right]_{\vec{x}=\vec{x}_0} \cdot V^2 \quad (2)$$

従って、仮想質量分布  $m(\vec{x}_0)$  は(2)式の [ ] 内で示されるが、物体表面では  $\partial \phi / \partial n = f$  であるから  $m(\vec{x}_0) = \rho_0 \phi / f$  で与えられる。これは慣性力によると一致する。運動エネルギーによる定義では、自由表面のある場合、波のボテンシャルエネルギーを運動エネルギーに比べ無視したことになる。

物体の変形の型を仮定して取扱う近似法では、次の量が流体力を表わす係数として表わされる。

$$M_{\text{av}} = \int_{S_0} m(\vec{x}_0) \cdot f(\vec{x}_0) dS_0 = \rho_0 \int_{S_0} \phi \cdot f(\vec{x}_0) dS_0. \quad (3)$$

これは、振動論で分布系を集中系に置換する際の generalized mass = 相当質量から、generalized virtual mass と呼びたい。専門教科の仮想質量の定義はこれに相当する。(1)式および  $S \rightarrow S_0$  の置換を考えると、generalized virtual mass の意味は自明のことである。

## 2. 変形する物体の仮想質量の例

矩形水槽側板

$$m(y, z) = \frac{1}{W(y, z)} \cdot \rho_0 L \sum_{i=0}^{\infty} \sum_{j=0}^{\infty} \frac{2\epsilon_i}{n_{ij}} \tan \frac{n_i \pi z}{L} \cdot \int_0^1 w(Bs, t\eta) \cos i\pi s \cos j\pi \eta ds d\eta \cdot \cos i\pi \frac{y}{B} \cdot \cos j\pi \frac{z}{L}$$

ここで、 $\epsilon_i = 1$  ( $i=0$ ) : = 2 ( $i \neq 0$ )、 $B$ : 幅、 $L$ : 長さ、 $\eta$ : 水深、 $n_{ij} = \pi \sqrt{(iL/B)^2 + (jL/L)^2}$ 、 $j=0, \frac{1}{2}, \frac{3}{2}, \dots$ 。 $w(s, z) = A \cdot \sin(\pi y/B) \cdot \sin(\pi z/L)$  とあり乍ら、generalized virtual mass は

$$M_{ij} = P_0 B L \frac{3}{\pi^4} \sum_j \sum_i \left\{ \frac{1}{(i^2-1)(j^2-1)} \right\} \varepsilon_i \cdot \tanh \frac{\eta i}{2} / n_{ij}$$

### 円筒水槽振動

$$m(s, \theta) = \frac{1}{W(s, \theta)} \left[ \alpha \sum_{n=1}^{\infty} 2 \int_{-\pi/2}^{\pi/2} \left[ \sum_{k=1}^{n-1} \left[ W(x_k, k\theta) \cos n\theta \cdot \sin k\theta \cdot d\theta \right] \cos k\theta \right. \right.$$

$$\left. \left. + \int_{-\pi/2}^{\pi/2} \left[ W(x_n, n\theta) \sin n\theta \cdot \cos k\theta \cdot d\theta \right] \sin k\theta \right] \cos k\theta \right]$$

ここで、 $\alpha$ : 半径、 $\lambda = \frac{2\pi}{L} \cdot \theta$ 、 $W(\theta) = \frac{2\pi}{L} \cdot \lambda \cdot I_0 - \lambda^2 \cdot I_2$

### 3. 变形を假定した時の精度

水力弹性振動では、図1に示される様に出力が入力にストップバックされるから、正弦形は変空中と異り一般には厳密に重まらない。水平に立てた円柱の振動は厳密解が半角の数少なり倒れてもうが、その解を計算し変空中での振動と振巾比をとると零工の振巾比は一様である。従って工学的立場からは、液体中のたゆみ形と変空中の正弦形に仮定し、(3式)によつて集半をとして取扱、こそ大差はない。円柱につけてこの結果を示す。

### 4. 球形

(1) 变形する物体についても仮想質量分布が定義でき、自由表面のない場合には、運動エネルギーによる定義は慣性力による定義と一致する。

(2) 自由表面のある場合には、運動エネルギーによる定義は表面のぶんニシヤルエネルギーを無視したことによる。

(3) 水力弹性振動では、一般に水中と変空中の振動形は異りが、変空中の正弦形に等しいとしても大差はない(振巾は異る)。

(4) 振動形を假定する場合には分布系を集中系に置換して取扱うが、その場合流体力は(3)式で表す generalized virtual mass になるにあつて表わすことができる。

(5) Generalized virtual mass は準位の速度に対する液体全体の運動エネルギーを表す量を示す。

参考文献 1) 水力学 (Hydrodynamics) 2) 反応器: 流体力学

3) 慶應義塾: 運動論会議録 第1-5

4) 構造動揺: 土木技術 16-6 (61), 土研 著術研究所報告 土木 63-6  
(63), また p. 10-150-51 (65)

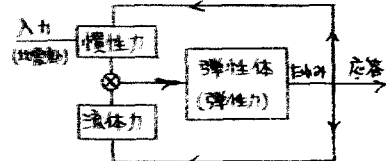


図1. 水力弹性振動のモデル化

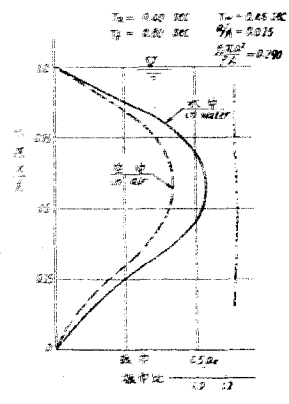


図2. 球の大きさ

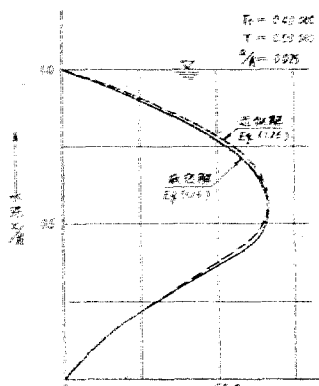


図3. 柱の大きさ